

鹿児島工業高等専門学校 正員 ○足田 誠
 九州大学工学部 正員 植東一郎、学生員 末次忠司
 鹿児島県砂防課 宮崎十三

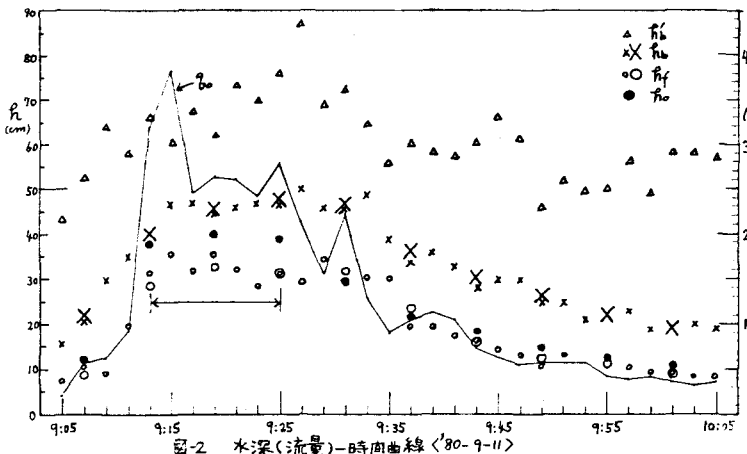
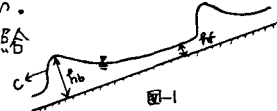
長谷川は桜島北岳に源を発する流域面積1.35 km²(流路工より上流)の急流河川で、古くから土石流の多発地として知られている。昭和53年には、鹿児島県砂防課により長谷川の流路工にV.T.R.が設置され、54年には種々の改良を加えて9個の土石流が撮影されたが、停電のためタイマーが作動しない記録が多くあった。そのため55年には電源をバッテリー方式に改め、かなりの土石流が撮影されたが、両年ににおける土石流の規模は小さく、その動態を把握するには十分でない。しかし、長谷川の土石流においてはかなり明瞭な転波列が発生しており、転波の周期6~11秒のうち1~1秒程度の転波front部が通過するときの水深 h_1 は、平均水深 h_0 よりもはるかに大きい。また、後続部の水深 h_2 にくらべてかなり大きい。さらに、フロントではSurface rollerや流水中に含む大粒径の岩塊との干渉のため、規模の大きい上ぶきを伴う。それを含めた水深 h_1 はさらに大きい。

本文では、長谷川の転波列の特徴について記述し、岩垣による転波列の理論と照合しながら若干の考察を加える。

長谷川の土石流と転波列の特徴

土石流撮影のため、長谷川の流路工(底面幅8m、法勾配1:1、流路勾配0.07%のコンクリートぱり)に設置されたV.T.R.システムは、カラーV.T.R.カメラ(1時間とり)と高感度の白黒カメラ(6時間とり)が併置され、上述のセンサー切換と同時に照明灯がつき、両V.T.R.が作動し前面の流路工を流れる土石流が撮影されるとともに、1/100秒ごとの時刻が記入される。これらの記録から、水位、転波列の波速・周期が測定され、昼間時の記録から土石流中の速度が測定される。

以下、両年に発生した最大規模の土石流である54年6月18日(M-1)、55年9月11日(M-2)の土石流転波について考察することにし、後者の水深時間と図-2に示す。図中には2分ごとに測定された h_1 、 h_0 および h_2 の時間的変化が示されており、図中の大きいX、○印は隣接する3つの測定値の平均である。また、●は転波列理論から計算したX、○に対応する平均水深 h_0 であり、図中の実線は単位幅流量 Q の計算結果である。同時に、土石流中ににおける砾の速度 v_g 、転波列の波速 C および周期 T を測定した。なお、土石流の段波が到着した後の最盛期では、流達される h_1 程度の岩塊による水面動搖が著しいため、転波列のよみとりは困難で、精度は低



下して11:00。

国-3は v_g と h_1 および
 Q と h_0 の関係を示したもので、 Q は水深 h_0 に無関係にほぼ $Q = 12$ 程度の値となる。この値は野尻川の流路工における平均値 $Q = 12.3$ と同程度である。図-4は転波列の波速 C とそれを無次元化した $C/(g \cdot 8 \cos \theta)^{1/2}$ と h_1 との関係をプロットし

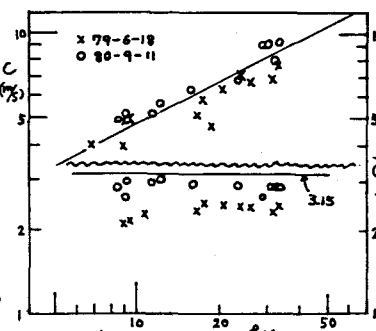
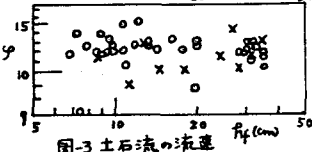
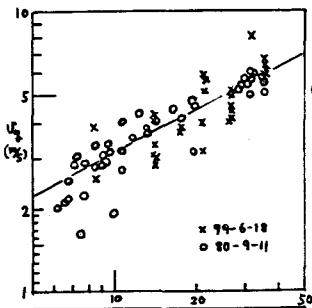


図-4 転波列の速度

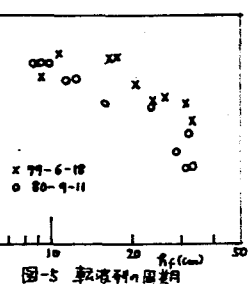


図-5 転波列の周期

たものである。C は $\sqrt{g_f \alpha \sin \theta}$ に従って V_s にはほぼ比例する。(M.1) および (M.2) によつて若干異なり、それぞれの平均の $C/\sqrt{g_f \alpha \sin \theta}$ の値は 24, 29 の程度である。図-5 には、C, T の測定値を用い無次元化された周期 ($T_g \sqrt{g_f \alpha \sin \theta}/C^2$) を示した。 $H_f \approx 30 \text{ cm}$ では、測定精度が低いことを考慮すると、その値は 0.6~1.0 の程度である。図-6 は F_r/F_b の測定値を示したものである。

転波列の検討 岩垣らは転波列にのった移動座標系を用いて定常化した水頭形方程式と跳水条件式を用い、転波列の特性を巧みに解明しているので、以下この解法を長谷川の土石流に適用して若干の考察を行なう。前述したように長谷川では $\alpha \approx 12.3$ 、流路勾配 0.07 、フルード数 $F_r = g_f I = 3.25$ であるから、このときの水頭形方程式は積分される。解析に必要な諸式をあげると、 α は運動量補正係数として次のようである。進行流量 $K = \frac{1}{2} g_f \alpha \sin \theta (F_r + F_b) F_r F_b : (1)$ 、平均流速 $V/C = \frac{\alpha - 1/\alpha(\alpha - 1) + 1/F_r^2}{\alpha - 1/(F_r^2)} = F : (2)$ 、平均水深 $H_o = g_f F_r \alpha / C^2 = \frac{1}{F_r^2} F^2 : (3)$ 、単位幅流量 $Q = g_f \alpha \sin \theta / C^3 = \frac{1}{F_r^3} F^3 : (4)$ 、 $K = g_f \alpha \sin \theta / C^3 - \frac{1}{F_r^3} (1-F)^2 : (5)$ 、転波列の発生条件 $F \geq 2/3 : (6)$ 式(2), (6)において、 F は α やび $F_r = 3.25$ の条件下で転波列が発生するためには、 α のとり得る値は制約があることがわかる。

さて、堆積土砂層の上を流送される土石流について、高橋による $deltant$ 流動式を適用すると $\alpha = 1.25$ であるが、この α では土石流は発生しない。従って、流路工のようにコンクリート床面を流逝する土石流の流れでは、底面に $slip velocity$ が存在するため、 α は純水の場合と同様の $\alpha = 1.05$ 程度の値をとるものと考えられる。このように α , F_r がまとまると、式(3), (4)より F_r , g_f が C の測定値を用いて求められ、(M.2) における hydrograph は図-2 に示したようになる。つづいて、 $F_r/F_b = H_6^2$, $F_r/F_b = H_6$ および無次元波長 $\lambda' = \lambda \tan \theta / \alpha$ は跳水条件式を書きかえた次式 $K/H_o^{1/2} - \sqrt{\frac{1}{2}(H_6^2 + H_6)} H_6^{1/2} H_6 : (7)$ と不等流水面形を積分して適当に境界条件を入れた次の関係 $\lambda' = f(H_6, H_6) : (8)$ から求められる。(式形は省略) 式(3), (5), (7) を用いて H_6 と H_f との関係を求め式(8)から λ' を H_f の関数として求めた結果を図-8 に示した。図には、(M.2) の実測結果もプロットされており、大略の傾向としては一致しているが、明らかに不合理な $H_f \approx 1$ の測定値も現われているので、今後検討すべき多くの問題が残されている。しかし乍ら、急勾配の固定床流路工においては一般に転波列が存在し、長谷川では H_6 の値が 1.75 程度にも達することが注目される。参考文献: 1) 岩垣・岩佐: 転波列の水理学的特性、土木学会誌 40-1, 昭 30, 2) 高橋: 土石流の発生と流動に関する研究、京都大学防災研究所年報、第 20 号 B, 昭 52

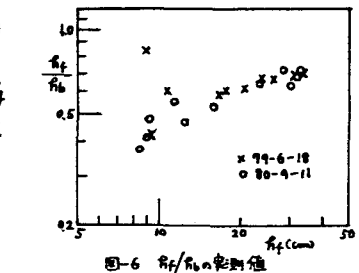


図-7 転波列の発生域

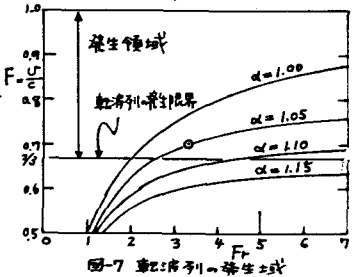


図-8 共役水深と波長